

## شبیه سازی عددی امواج بلند با استفاده از رهیافت نگاشت به فضای محاسباتی

علی مهدوی<sup>\*</sup><sup>۱</sup>، ناصر طالب بیدختی<sup>۲</sup>

تاریخ دریافت: تاریخ پذیرش:

### چکیده

از دیدگاه شبیه سازی عددی، بالاروی و به دنبال آن پایین آمدن امواج بر روی ساحل، در محدوده‌ی مسائل با مرز متحرک می‌گنجد. با توجه به این در این نوع مسائل، طول ناحیه‌ی حل با زمان تغییر می‌کند، اعمال صحیح شرایط مرزی در هر گام زمانی مستلزم تعیین مرز متحرک است. در مطالعه‌ی حاضر، معادلات غیر خطی آب کم عمق به همراه شرایط مرزی در آن، با استفاده از یک نگاشت هندسی از فضای فیزیکی (واقعی) به فضای محاسباتی منتقل می‌گردند، بطوری در فضای جدید، طول ناحیه‌ی حل در خلال فرایند بالا-پایین روی موج بدون تغییر باقی می‌ماند و مرز متحرک به مرزی ثابت تبدیل می‌گردد. معادلات حاکمه که پس از اعمال نگاشت، عبارتهای غیرخطی جدیدی در آنها پدیدار می‌شود، با استفاده از الگوی تفاضل محدود دو مرحله‌ای ریچمایر- لکس-وندروف گستته سازی شده و با اعمال شرایط مناسب مرزی حل می‌گردد. برای این منظور برنامه‌ای در محیط فرتون ۹۰ نوشته شده است. در انتهای، مقایسه‌ای بین نتایج حاصل از این شبیه عددی با داده‌های موجود آزمایشگاهی ارائه می‌گردد.

**واژه‌های کلیدی:** معادلات غیر خطی آب کم عمق، مرز متحرک، تبدیل لاگرانژی- اویلری، موج منفرد

۱- دانشجوی کارشناسی ارشد سازه‌های هیدرولیکی، دانشکده‌ی مهندسی دانشگاه شیراز.

۲- استاد بخش مهندسی راه و ساختمان، دانشکده‌ی مهندسی دانشگاه شیراز.

\* نویسنده‌ی مسؤول مقاله: amahdavi.ir@gmail.com

[۵]، یعنی افزودن و کم کردن نقاط محاسباتی مطابق با موقعیت خط ساحلی شبیه سازی گردید. داد (۱۹۹۸) با حل معادلات غیر خطی آب کم عمق به کمک حل کننده ریمان از نوع رو<sup>۵</sup> که در پویایی<sup>۶</sup> (دینامیک) گازها بکار می‌رود، بالاروی موج را بررسی کرد. در روش این محقق، یک عبارت برای بیان اتلاف کارمابه<sup>۷</sup> (انرژی) در معادلات حاکمه اعمال شد و یک عمق موضعی حداقل  $d_{\min}$ ، نیز تعریف گردید. چنانچه عمق سیال در یک سلول محاسباتی کمتر از  $d_{\min}$  باشد، آن سلول خشک و در غیر این صورت تر در نظر گرفته می‌شود. خط ساحلی به عنوان خطی که سلول‌های تر را از خشک جدا می‌کند، تعریف گردید. شبیه سازی‌های این محقق از تطابق خوبی با نتایج آزمایشگاهی برخوردار بود [۴].

از آنجا که در شبیه سازی عددی بالاروی موج، برخی گرههای محاسباتی قبل از رسیدن موج به آنها خشک هستند، تعیین طول ناحیه‌ی حل، و به بیان دیگر، مکان‌یابی مرز متحرک خشک-تر در هر گام زمانی مشکلی عمده محسوب می‌گردد. در این مطالعه با اعمال یک نگاشت مختصاتی، معادلات و شرایط مرزی آن به فضای محاسباتی منتقل می‌گردند. در مختصات جدید، موقعیت خط ساحلی با زمان تغییر نکرده، و اعمال شرایط مرزی تا حدودی ساده‌تر صورت می‌پذیرد. تمامی شبیه سازی‌ها به وسیله‌ی برنامه‌ای که به همین منظور در محیط فرتون<sup>۸</sup> نوشته شده است، صورت می‌پذیرد. برای سنجش کارایی شبیه عددی، نتایج حاصل از آن با جواب تحلیلی حاصل از نظریه‌ی نمونه‌ی کلاسیک امواج و داده‌های آزمایشگاهی سینولاکیس (۱۹۸۶) مقایسه می‌گردد.

### معادلات حاکمه

همان طور که در قسمت قبل اشاره گردید، تاکنون محققین سیاری برای شبیه سازی انتشار و بالاروی امواج بلند از معادلات غیر خطی آب کم عمق (NLSW) استفاده کرده‌اند. این معادلات، که در واقع بقاعی جرم و بقاعی اندازه‌ی حرکت را بیان می‌کنند، معمولاً برای شبیه سازی جریان آزاد سیالی تراکم ناپذیر و غیر لزج تحت اثر

### مقدمه

بررسی فرایند انتشار و بالاروی امواج بلند بر روی ساحل شیب‌دار در زمرة‌ی مسائل کلاسیک نمونه‌ی آب پویایی<sup>۱</sup> (هیدرودینامیک) سواحل بشمار می‌آید، که معمولاً در مطالعه‌ی اثرات ناشی از امواج سونامی بر نواحی ساحلی مطرح می‌گردد. در سالهای اخیر، بررسی انتشار و بالاروی امواج بلند موضوع بسیاری از مطالعات تحلیلی، عددی و آزمایشگاهی بوده است. تاکنون از معادلات غیر خطی آب کم عمق<sup>۲</sup> (NLSW) برای شبیه سازی فرایندهای انتشار و بالاروی امواج بلند به طور گسترده استفاده گردیده است. برای اولین بار، کریر و گرینسپن (۱۹۵۸) با استفاده از معادلات غیر خطی آب کم عمق، روشی را برای تبدیل این معادلات به دستگاهی از معادلات خطی با قابلیت حل تحلیلی پیشنهاد نمودند. این محققین به کمک روش خود به بررسی بالاروی امواج دوره‌ای با شکل موجهای اولیه گوناگون بر روی سطح شبیه دار پرداختند [۳]. تاک و هوانگ (۱۹۷۲) به توسعه‌ی تبدیل کریر و گرینسپن پرداختند و از آن برای حل بالا روی امواج بلند تحت پیکر بندی‌های اولیه اختصاص داده شده به سطح آب استفاده کردند [۹]. سینولاکیس (۱۹۸۶)، بر اساس آزمایش‌های خود، که در مقایسه با کارهای پیشین از روش‌های دقیق‌تری در آنها استفاده شده بود، روابطی را برای پیش‌بینی بیشینه‌ی بالاروی امواج منفرد غیر شکننده و شکننده ارائه داد [۷]. از آنجا که محققین بسیاری برای تعیین میزان دقت شبیه‌های تحلیلی و عددی خود از نتایج آزمایشگاهی مذکور استفاده کرده‌اند، نتایج شبیه ارائه شده در این تحقیق نیز با این داده‌ها مقایسه می‌گردد. تیتوف و سینولاکیس (۱۹۹۵) به کمک روش تفاضلات محدود به حل شکل مشخصاتی معادلات غیر خطی آب کم عمق پرداختند و از آن برای شبیه سازی انتشار و بالاروی امواج منفرد<sup>۳</sup> استفاده کردند. این محققین برای جلوگیری از بروز مسئله‌ی ناپایداری عددی، معادلات مشخصه را با الگویی عددی گودونوف<sup>۴</sup> حل کردند [۸]. در شبیه آنها خط متحرک ساحلی با روش هیبریت و پرگرین (۱۹۷۹)

<sup>5</sup> Reo-type Riemann solver

<sup>6</sup> - dynamic

<sup>7</sup> - energy

<sup>1</sup> - hydrodynamics

<sup>2</sup> Non-Linear Shallow Water equations (NLSW)

<sup>3</sup> solitary waves

<sup>4</sup> Godunov scheme

### روش نگاشت به فضای محاسباتی

هنگام بکار بردن معادلات NLSW برای تحلیل بالا روی موج مشکلاتی در زمینه‌ی تعیین موقعیت خط ساحلی پیش می‌آید. از آنجا که این موقعیت در خلال فرایند بالا روی ثابت نیست، باید در شبیه‌عددی تبدیل خاصی در جهت تعریف خط ساحلی اتخاذ کرد. در اینجا از روش نگاشت به فضای محاسباتی که به وسیله‌ی ژانگ و همکاران در سال ۲۰۰۱ (۲۰۰۱) معرفی گردید استفاده می‌شود [۱۰].

در این روش سادگی روش اویلر حفظ شده، و از رهیافت لاغرانژی برای تعیین موقعیت خط ساحلی استفاده می‌گردد. بدین منظور، با استفاده از تبدیل مختصات زیر، معادلات (۱) و (۲) از فضای واقعی  $(x, t)$ ، به فضای محاسباتی  $(\bar{x}, \bar{t})$  نگاشت می‌گردد.

$$x = g(\bar{x}) + \xi(\bar{t})f(\bar{x}), \quad t = \bar{t}. \quad (3)$$

که در آن  $(\bar{t})^\xi$  به موقعیت خط ساحلی در فضای واقعی اشاره دارد. توابع  $g(\bar{x})$  و  $f(\bar{x})$  به صورت زیر تعریف می‌گردد.

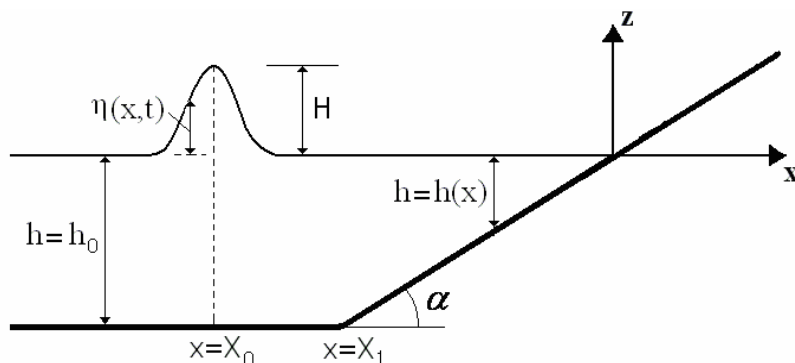
$$g(\bar{x}) = \bar{x}, \quad f(\bar{x}) = 1 + \frac{\bar{x}}{L}.$$

نیروی گرانش بکار می‌رond. در این معادلات، سرعت به صورت متوسط‌گیری شده در عمق<sup>۱</sup> بوده و توزیع فشار آب ایستایی<sup>۲</sup> حاکم است و از اثر کشش سطحی صرفنظر می‌گردد. معادلات (NLSW) در مواردی بکار می‌رond که بعد قائم جریان بسیار کوچکتر از بعد افقی آن است؛ نظریه انتشار امواج بلند که نسبت طول امواج به عمق آب بیشتر از ۲۰ است. چنین امواجی در مکانیک کلاسیک امواج به عنوان امواج آب کم عمق<sup>۳</sup> شناخته می‌شوند [۶]. معادلات (NLSW) در حالت یک بعدی به صورت زیر نوشته می‌شوند [۸]:

$$\frac{\partial \eta}{\partial t} + \frac{\partial(u d)}{\partial x} = 0 \quad (1)$$

$$\frac{\partial u}{\partial t} + u \frac{\partial u}{\partial x} + g \frac{\partial \eta}{\partial x} = 0 \quad (2)$$

در روابط فوق  $g$  شتاب گرانش،  $x$  راستای انتشار موج،  $t$  زمان،  $\eta = \eta(x, t)$  جابجایی قائم سطح آزاد نسبت به تراز مختل نشده‌ی (اولیه‌ی) آب و  $u = u(x, t)$  سرعت افقی متوسط‌گیری شده در عمق در راستای انتشار موج می‌باشد. همچنین، عمق کل  $d(x, t)$  برابر است با مجموع عمق اولیه آب و  $\eta(x, t)$  (شکل (۱))



شکل - ۱: تعریف عوامل مربوط به انتشار و بالاروی یک موج منفرد. (شکل بدون مقیاس است)

<sup>۱</sup> depth-averaged

<sup>۲</sup> - hydrostatics

<sup>۳</sup> shallow water waves

### شرایط مرزی بر روی خط ساحلی

حل عددی معادلات غیر خطی آب کم عمق مستلزم تعیین شرایط مرزی بر روی خط ساحلی است. از آنجا که موقعیت خط ساحلی تنها تابعی از زمان است، برای محاسبه‌ی سرعت خط ساحلی خواهیم داشت:

$$\frac{d\xi}{dt} = u^s \quad (7)$$

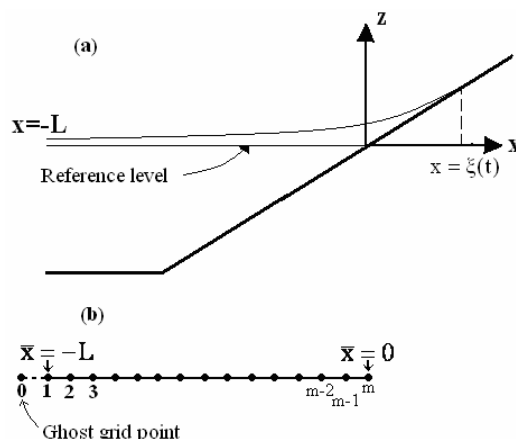
که در آن  $u^s$  سرعت جابجایی خط ساحل می‌باشد (از این پس بالاتر  $s$  نشانگر خط ساحلی است). همچنین، عمق آب در هر لحظه در خط ساحل صفر است، بنابراین:

$$d^s = 0 \quad (8)$$

در رابطه‌ی فوق  $L$  طول اولیه‌ی ناحیه حل قبل از ورود موج به آن است. با استفاده از تبدیل فوق، ناحیه‌ی حل واقعی  $(\xi(t) \leq x \leq L)$ ، که طول آن با زمان تغییر می‌کند به ناحیه‌ای با طول ثابت  $(\bar{x} \leq \bar{x} \leq 0)$  در فضای محاسباتی تبدیل می‌گردد. تحت این تبدیل خط ساحلی همواره بر  $\bar{x} = 0$  منطبق است (شکل ۲). با استفاده از معادلات (۳) و (۴) می‌توان نشان داد که روابط زیر بین مشتقهای جزئی واقعی و فضای محاسباتی برقرار است.

$$\frac{\partial}{\partial x} = \frac{\partial \bar{x}}{\partial x} \frac{\partial}{\partial \bar{x}} \quad (5)$$

$$\frac{\partial}{\partial t} = \frac{\partial}{\partial \bar{t}} - f(\bar{x}) \frac{d\xi(\bar{t})}{d\bar{t}} \frac{\partial}{\partial x} \quad (6)$$



شکل - ۲: (a)-فضای واقعی و (b)-ناحیه‌ی حل در مسئله بالاروی موج

اندازه حرکت به صورت زیر برای بکاربردن در فضای  $(\bar{x}, \bar{t})$  اصلاح می‌گردد:

$$\frac{\partial \eta}{\partial \bar{t}} - c_1 u^s \frac{\partial \eta}{\partial \bar{x}} + c_2 \frac{\partial(u d)}{\partial \bar{x}} = 0 \quad (11)$$

$$\frac{\partial u}{\partial \bar{t}} - c_1 u^s \frac{\partial u}{\partial \bar{x}} + c_2 \left( u \frac{\partial u}{\partial \bar{x}} + g \frac{\partial \eta}{\partial \bar{x}} \right) = 0 \quad (12)$$

تابع  $c_1$  و  $c_2$  در روابط فوق، به صورت زیر تعریف می‌گردد:

که در آن مشتق کلی سرعت خط ساحلی نسبت به زمان به صورت زیر تعریف می‌گردد:

$$\frac{Du^s}{Dt} = \left( \frac{\partial u}{\partial t} \right)^s + \left( u \frac{\partial u}{\partial x} \right)^s \quad (10)$$

### معادلات NLSW و شرایط مرزی در فضای محاسباتی

با اعمال روابط (۵) و (۶) بر معادلات (۱) و (۲)، پس از اندکی عملیات جبری، معادلات بقای جرم و بقا:

$$c_1 = c_1(\bar{x}, \bar{t}) = \frac{1 + \bar{x}/L}{1 + \xi(\bar{t})/L}, \quad c_2 = c_2(\bar{t}) = \frac{1}{1 + \xi(\bar{t})/L} \quad (13)$$

وجود آورده است. رابطه‌ی (۹) پس از تبدیل مختصات و گسسته‌سازی به صورت زیر بیان می‌شود [۱]:

همانطور که در معادلات تبدیل یافته [روابط (۱۱) و (۱۲)] مشاهده می‌شود، اعمال تبدیل لاغرانژی- اوپلری، در عوض ایجاد تایه‌ی حل غیر زمانمند، عبارتهای غیر خطی جدیدی را در معادلات غیر خطی آب کم عمق

$$u^{s(n+1)} = u^{s(n)} - g \frac{1}{1 + \frac{\xi^{(n)}}{L}} \frac{\Delta \bar{t}}{2\Delta \bar{x}} (3\eta_m^{(n)} - 4\eta_{m-1}^{(n)} + \eta_{m-2}^{(n)}) \quad (14)$$

رابطه‌ی فوق بیان می‌کند که متغیرهای جریان نبایستی در راستای عمود بر مرز غیر بازتابی تغییر کنند.

### گسسته‌سازی معادلات

برای گسسته‌سازی معادلات تبدیل یافته، از الگوی تفاضل محدود دو مرحله‌ای ریچمایر- لکس-وندروف<sup>۵</sup> استفاده می‌گردد. این الگو در زمان و مکان دارای دقیقی از مرتبه‌ی دو می‌باشد. مجموعه‌ی اول معادلات بر اساس این الگو به صورت زیر نوشته می‌شود [۱۱]:

در رابطه‌ی فوق  $\Delta \bar{x}$  و  $\Delta \bar{t}$  به ترتیب گامهای مکانی و زمانی در فضای محاسباتی بشمار می‌روند. بالا نمون  $n$  گام زمانی قبل (علوم) را نشان می‌دهد و نمایه‌ی  $m^1$  نیز بیانگر گره آخر در فضای  $(\bar{x}, \bar{t})$  است که همواره با خط ساحلی متناظر می‌باشد [شکل ۲-۲(b)]. به مجرد تعیین سرعت خط ساحلی در گام زمانی جدید  $(u^{s(n+1)})$ ، با اعمال قاعده‌ی انتگرال گیری ذوزنقه‌ای بر رابطه‌ی (۷)، موقعیت جدید خط ساحلی بدست می‌آید:

$$\xi^{(n+1)} = \xi^{(n)} + \frac{1}{2} \Delta \bar{t} (u^{s(n+1)} + u^{s(n)}) \quad (15)$$

در مرز سمت دریا ( $x = -L$ ) در شکل (۲-a) که نوعی مرز غیر بازتابی<sup>۲</sup> بشمار می‌آید، شرط مرزی انتقال-دهنده<sup>۳</sup> اعمال می‌گردد. این شرط مرزی که خروج بدون انعکاس موج از دامنه‌ی محاسباتی را امکان‌پذیر می‌سازد، با افزودن گره‌هی خیالی<sup>۴</sup> به دامنه‌ی محاسباتی اعمال می‌گردد. چنانچه نمایه‌ی این گره خیالی با (۰) نشان داده شود، خواهیم داشت (شکل ۲-b):

$$\eta_0 = \eta_1, \quad u_0 = u_1 \quad (16)$$

<sup>۵</sup>- Richtmyer-Lax-Wenderoff

<sup>۱</sup> - index

<sup>۲</sup>- non-reflective

<sup>۳</sup>-transmissive

<sup>۴</sup>- ghost grid point

$$\begin{aligned}\eta_{i+1/2}^{(n+1/2)} &= \frac{1}{2}(\eta_i^{(n)} + \eta_{i+1}^{(n)}) + \frac{\Delta\bar{t}}{2\Delta\bar{x}}c_1u^{s(n)}(\eta_{i+1}^{(n)} - \eta_i^{(n)}) \\ &\quad - \frac{\Delta\bar{t}}{2\Delta\bar{x}}c_2[(h_{i+1} + \eta_{i+1}^{(n)})u_{i+1}^{(n)} - (h_i + \eta_i^{(n)})u_i^{(n)}],\end{aligned}\quad (17)$$

$$\begin{aligned}u_{i+1/2}^{(n+1/2)} &= \frac{1}{2}(u_i^{(n)} + u_{i+1}^{(n)}) + \frac{\Delta\bar{t}}{2\Delta\bar{x}}c_1u^{s(n)}(u_{i+1}^{(n)} - u_i^{(n)}) \\ &\quad - \frac{\Delta\bar{t}}{2\Delta\bar{x}}c_2\left[\frac{1}{2}(u_{i+1}^{(n)})^2 + g\eta_{i+1}^{(n)} - \frac{1}{2}(u_i^{(n)})^2 - g\eta_i^{(n)}\right],\end{aligned}\quad (18)$$

در روابط (۱۷) و (۱۸)،  $c_1$  و  $c_2$  در گره  $i+1/2$  و گام زمانی  $n$  محاسبه می‌گردند. مجموعه‌ی دوم معادلات عبارت است از:

$$\begin{aligned}\eta_i^{(n+1)} &= \eta_i^{(n)} + \frac{\Delta\bar{t}}{\Delta\bar{x}}c_1u^{s(n)}(\eta_{i+1/2}^{(n+1/2)} - \eta_{i-1/2}^{(n+1/2)}) \\ &\quad - \frac{\Delta\bar{t}}{\Delta\bar{x}}c_2[(h_{i+1/2} + \eta_{i+1/2}^{(n+1/2)})u_{i+1/2}^{(n+1/2)} - (h_{i-1/2} + \eta_{i-1/2}^{(n+1/2)})u_{i-1/2}^{(n+1/2)}],\end{aligned}\quad (19)$$

$$\begin{aligned}u_i^{(n+1)} &= u_i^{(n)} + \frac{\Delta\bar{t}}{\Delta\bar{x}}c_1u^{s(n)}(u_{i+1/2}^{(n+1/2)} - u_{i-1/2}^{(n+1/2)}) \\ &\quad - \frac{\Delta\bar{t}}{\Delta\bar{x}}c_2\left[\frac{1}{2}(u_{i+1/2}^{(n+1/2)})^2 + g\eta_{i+1/2}^{(n+1/2)} - \frac{1}{2}(u_{i-1/2}^{(n+1/2)})^2 - g\eta_{i-1/2}^{(n+1/2)}\right].\end{aligned}\quad (20)$$

موج منفرد، که در جهت مثبت محور  $x$  انتشار می‌یابد، با رابطه‌ی زیر تعریف می‌گردد [۸]:

$$\eta(x, t) = H \operatorname{sech}^2 \left[ \sqrt{\frac{3H}{4h_0^3}} (x - X_0 - ct) \right] \quad (21)$$

که در آن  $H$  ارتفاع اولیه‌ی موج منفرد،  $h_0$  عمق ثابت اولیه‌ی آب،  $X_0$  موقعیت اولیه‌ی قله موج و  $c = \sqrt{g(H + h_0)}$  سرعت انتشار موج است (شکل ۱). مقادیر اولیه‌ی سرعت جریان از رابطه‌ی زیر بدست می‌آید:

$$u(x, 0) = \frac{c\eta(x, 0)}{1 + \eta(x, 0)} \quad (22)$$

مقادیر  $c_1$  و  $c_2$  در معادلات (۱۹) و (۲۰) در گره  $i$  و گام زمانی  $n$  تعیین گردیده‌اند. پس از حل معادلات (۱۷) تا (۲۰) به همراه شرایط مرزی (۱۴) تا (۱۶)، و شرایط اولیه‌ای که در قسمت بعد بیان می‌گردند، مقادیر گرهی  $u$  و  $\eta$  در گام زمانی جدید بدست می‌آیند. سپس این مقادیر به کمک نگاشت از فضای  $(\bar{x}, \bar{t})$  به فضای فیزیکی  $(x, t)$  منتقل می‌گردند.

### شرایط اولیه در شبیه سازی موج منفرد

یک موج منفرد موجی است که تنها دارای یک قله است و فاقد شکم می‌باشد. شبیه سازی انتشار این موج معمولاً با حل معادلات NLSW، و با اعمال نیمرخ موج در لحظه‌ی  $t = 0$  به صورت مقادیر اولیه‌ی نیمرخ سطح آزاد  $\eta(x, 0)$  در شبیه عددی صورت می‌پذیرد. بر اساس نظریه‌ی اول امواج منفرد، نیمرخ یک

شده است. چنانچه در لحظه  $t^* = 0$  شرایط جریان ساکن ( $u(x,0) = 0$ ) در شبیه اعمال گردد، دو موج منفرد یکسان با ارتفاعی برابر با نصف ارتفاع اولیه‌ی موج تولید می‌شود که در جهت مخالف با هم منتشر می‌گردند. موقع چنین حالتی به وسیله‌ی تیتوف و سینولاکیس نیز گزارش شده است<sup>[۸]</sup>. تطابق قابل قبول نتایج حاصل از شبیه سازی عددی و نتایج آزمایشگاهی، نشان دهنده‌ی دقت شبیه در پیش‌بینی انتشار و بالاروی موج منفرد است.

### جمع‌بندی و نتیجه‌گیری

در این مطالعه به تشریح شبیه‌ی عددی بر مبنای معادلات تبدیل یافته‌ی غیر خطی آب کم عمق پرداخته شده است. هرچند تبدیل ارائه شده اعمال شرایط مرزی را بر روی مرز خط ساحلی آسانتر می‌سازد، ولی عبارت‌های غیر خطی جدیدی را در معادلات حاکمه بوجود می‌آورد. البته این عبارتهای جدید تنها در حل مسائلی با مرز متحرک نظیر بالاروی امواج بلند، یا انتشار موج ناشی از شکست سد بر بستر خشک، وارد محاسبات می‌گردند. به هر حال، در محدوده‌ی شبیه سازی‌های انجام شده در این مطالعه، نتایج زیر حاصل گردید:

- ۱- معادلات غیر خطی آب کم عمق به رغم فرض سرعت متوسط گیری شده در عمق، ابزاری توانمند جهت بررسی بالاروی امواج منفرد بشمار می‌آید.
- ۲- با افزایش ارتفاع بدون بعد اولیه‌ی موج ( $H/h_0$ ، بیشینه‌ی بالاروی موج بر روی سطح شبیه دار افزایش می‌یابد).

- ۳- با افزایش شبیه سطح (زاویه‌ی  $\alpha$  در شکل ۱)، بیشینه‌ی بالاروی موج غیرشکننده منفرد کاهش می‌یابد.
- ۴- موقعیت اولیه‌ی قرار گیری قله‌ی موج (نقطه  $x = X_0$  در شکل ۱)، بر میزان بیشینه‌ی بالاروی موج تاثیر گذار است. هر چه این نقطه دورتر از موقعیت اولیه‌ی خط ساحلی باشد، بیشینه‌ی بالاروی موج کاهش می‌یابد.

مطابق شکل ۱، فاصله‌ی میان موقعیت اولیه‌ی قله موج منفرد و نقطه‌ی شروع ساحل شیبدار ( $X_1$ ) به صورت زیر در نظر گرفته می‌شود<sup>[۸]</sup>.

$$X_1 - X_0 = \sqrt{\frac{4h_0^3}{3H}} \operatorname{arccosh}\left(\sqrt{\frac{1}{0.05}}\right) \quad (۲۳)$$

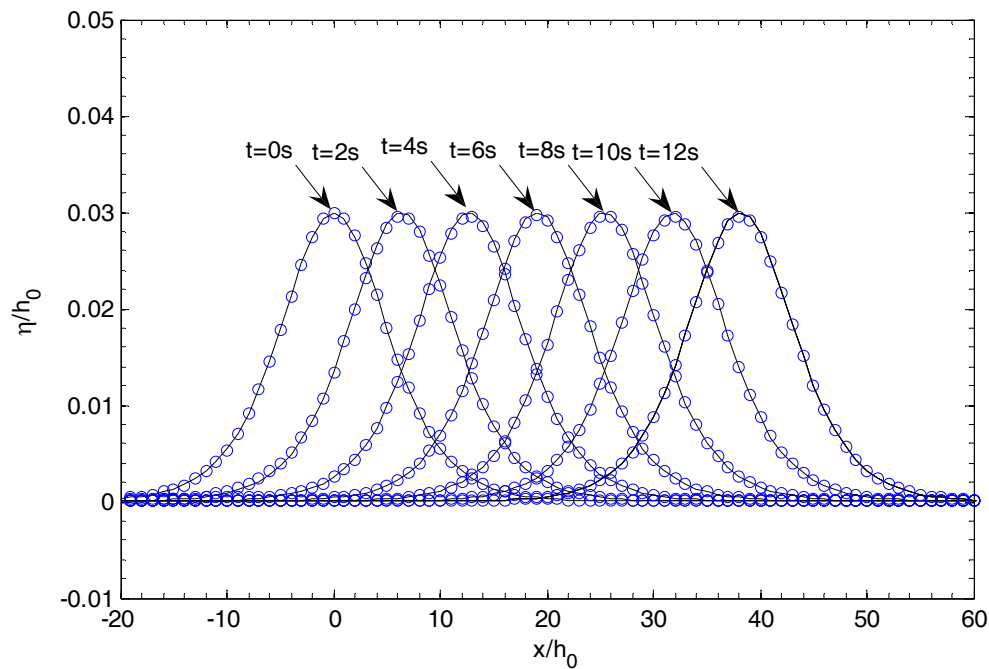
فاصله‌ی فوق الذکر در واقع نصف طول مشخصه‌ی موج منفرد است.

### نتایج و بحث

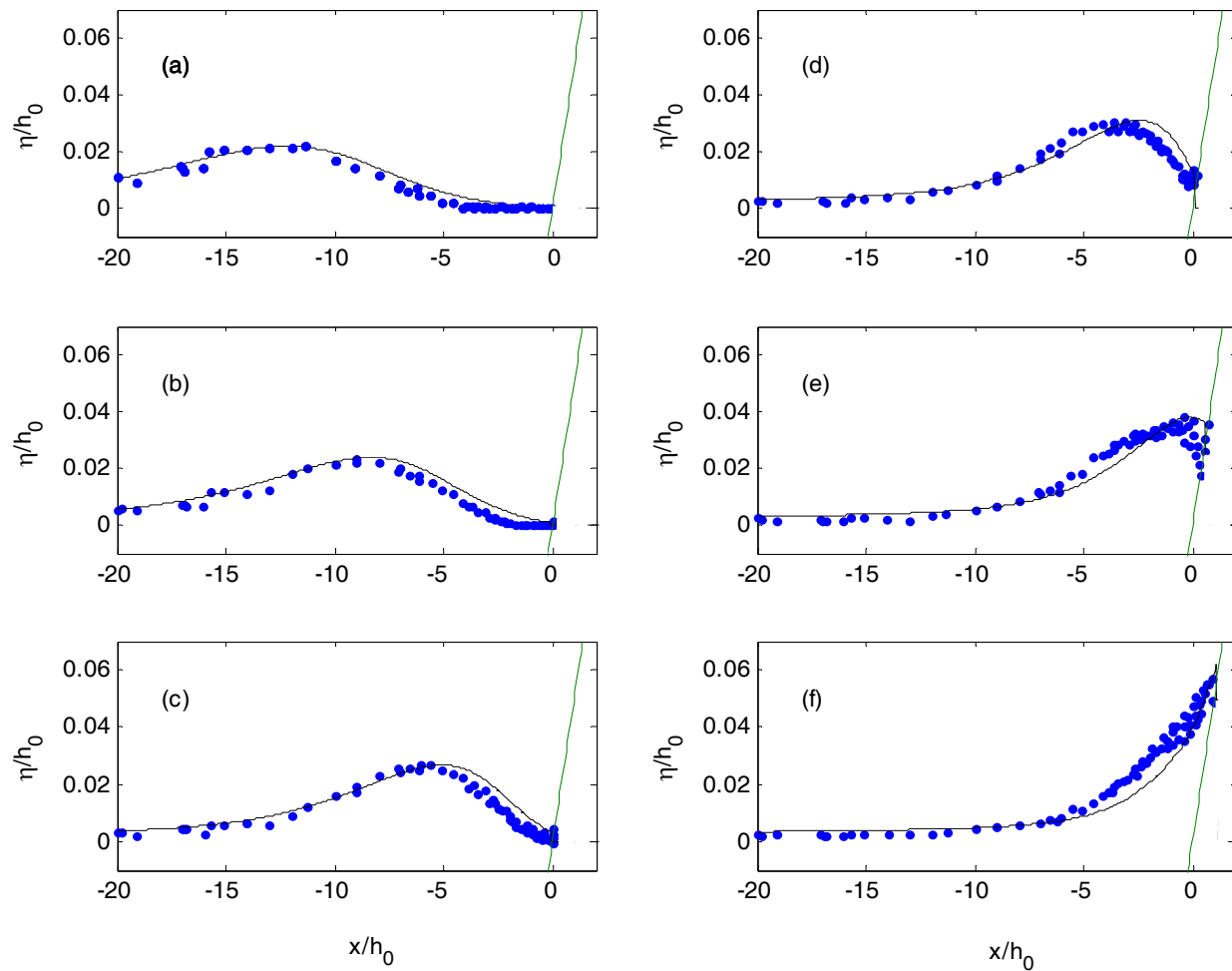
در شکل (۳)، نتایج حاصل از شبیه‌ی عددی با آنچه نظریه‌ی امواج منفرد (رابطه‌ی ۲۱) برای موج منفردي با  $H/h_0 = 0.03$  بدست می‌دهد، مقایسه گردیده است. بر اساس این نظریه، موج منفرد بایستی بدون تغییر شکل، با سرعت ثابت بر روی عمق ثابت آب واقع بر بستر، و بدون اصطکاک افقی انتشار یابد. در شبیه سازی عددی، ناحیه‌ی حل به ۱۰۰ سلول محاسباتی تقسیم شده است؛ همچنین قله‌ی موج در لحظه‌ی  $t = 0$ ، در موقعیت  $x = 0$  واقع است. با گذشت زمان موج بدون تغییر شکل از چپ به راست منتشر می‌گردد. به روشنی، تطابق نتایج عددی با جواب تحلیلی حتی تا فاصله‌ی انتشار  $x = 40h_0$  (لحظه‌ی  $t = 12s$  در شکل ۳) حفظ گردیده است. نتایج این آزمون محاسباتی حاکی از دقت بالای شبیه در پیش‌بینی انتشار موج منفرد بر روی عمق ثابتی از آب است.

در سال ۱۹۸۶، سینولاکیس در آزمایش‌های خود، بالاروی موج غیر شکننده<sup>۱</sup> منفردی با  $H/h_0 = 0.0185$  را بر روی شبیب ۱:۱۹.۸۵ کرد. در شکل ۴ نتایج حاصل از مدل ارائه شده با نتایج آزمایشگاهی این محقق مقایسه گردیده است. برای هماهنگی با داده‌های آزمایشگاهی در این شکل زمان بدون بعد  $t^*$ ، به صورت  $t^* = t\sqrt{g/h_0}$  تعریف می‌گردد. لازم به ذکر است که موقعیت اولیه‌ی قله‌ی موج با استفاده از رابطه‌ی (۲۳) تعیین گردیده است. همچنین، سرعت اولیه‌ی جریان بر اساس رابطه‌ی (۲۲) منظور

<sup>۱</sup> non-breaking



شکل ۳- شکل موج در زمان های مختلف برای موج منفردی با  $H/h_0 = 0.03$  که بر روی آبی با عمق ثابت  $h_0$  منتشر می گردد. قله ای موج در لحظه  $t = 0$  در  $x = 0$  قرار دارد. حل دقیق با خطوط ممتد، و نتایج شبیه عددی با دوایر توخالی مشخص گردیده اند.



شکل ۴- بالاروی موج منفردی با  $H/h_0 = 0.0185$  بر روی سطحی با شیب  $1:19.85$  در زمان‌های مختلف بدون بعد  $t^*$  برابر با (a) ۲۵، (b) ۳۰، (c) ۳۵، (d) ۴۰، (e) ۴۵ و (f) ۵۰. خطوط ممتد نتایج شبیه سازی عددی و نقاط توپر داده‌های آزمایشگاهی سینولاکیس (۱۹۸۶) را نشان می‌دهند.

**مراجع**

- [1] Brocchini, M. 2007. Personal communications.
- [2] Brocchini, M., Svendsen, I.A., Prasad, R.S., Bellotti, G. 2002. A comparison of two different types of shoreline boundary conditions. *J. Computational Methods in Applied Mechanics and Engineering*, 191:4475-4496.
- [3] Carrier, G.F., Greenspan, H.P. (1958). "Water waves of finite amplitude on a sloping beach. *J. Fluid Mechanics* 4:97-109.
- [4] Dodd, N., 1998. Numerical model of wave run-up, overtopping, and regeneration. *J. Waterway, Port, Coastal, Ocean Engineering ASCE* 124:73-81.
- [5] Hibbert, S., Peregrine, D.H. 1979. Surf and run-up on a beach: a uniform bore. *J. Fluid Mechanics*, 95:323-345..
- [6] Sorensen, R.M. 2006. Basic Coastal Engineering. Third Edition. Springer Science, New York. 324 p.
- [7] Synolakis, C.E. 1986. The run-up of long waves. PhD Thesis, California Institute of Technology, Pasadena, CA.
- [8] Titov, V.V., Synolakis, C.E. 1995. Modeling of breaking and non-breaking long-wave evolution and run-up using VTCS-2. *J. Waterway, Port, Coastal, Ocean Engineering ASCE* 121:308-461.
- [9] Tuck, E.O., Hwang, L.S. 1972. Long wave generation on a sloping beach. *J. Fluid Mechanics* 51:449-461..
- [10] Zhang, J.E., Wu, T.Y., Hou, T.Y. 2001. Coastal hydrodynamics of ocean waves on beach. *J. Advances in applied mechanics* 37:90-167.
- [11] Zhou, X., Hon, Y.C., Cheung, K.F. 2004. A grid-free nonlinear shallow water model with moving boundary. *J. Engineering Analysis with Boundary Elements* 28:467-973.